

BİNA İNŞAATINDA DÖRT KENARINDAN İSTİNATLI DÖŞEMELER

HESABIN BASITLEŞTİRİLMESİNE DAİR TAVSİYELER

Prof. Dr. Müh. KLAUS PIEPER

Yük. Müh. PETER MARTENS

(T. H. Braunschweig)'den

çeviren :

ERHAN YÜREKLİ

İnş. Yük. Müh.

1. KONUYA GENEL BAKIŞ

Gerçekte tek istikamette çalışan döşemeler enderdir, genellikle bina betonarme döşemeleri; iki istikamette taşıyıcıdır. Fakat bir plâkta; sadece tek istikamette çalışmaya göre kesit ve donatı hesabı yapılması birşey değildir. Hernekadar bununla plâğın kırılma emniyeti mevcutsa da, nazari itibara alınması gereken elâstik tesirler hesap dışı bırakılmaz. Ancak bu takdirde yeteri kadar donatı öngörülmesi sağlanabilir. Ayrıca plâklardaki ısrar edilmeyen yırtılmalar da bunun sonucudur. Bir hesabın gâyesi ise; verilen şartlar altında plâktâ meydana gelen tesirleri mümkün mertebe doğru elde etmek olmalıdır.

İlk olarak Marcus tarafından dört kenarından istinatlı, buntardan herhangibir serbest dönebilir veya tam ankastre olan ve çeşitli kenar oranlarına göre üniform tam yükleme halinde, basit ve oldukça yaklaşık bir hesap mümkün kılındı [1]. Metodun pratik izahı [2] dedir. Bu metod DIN 1045'in Bölüm 23, Paragraf 2 sine esas teşkil eder. Pratik hesaplar için, ilk defa; Löser'in [3] de yayımlanan tanınmış tabloları (iki şimdî başka eserlerde de bulmak kabil) istifadeye sunulmuştur. Tam üniform yüklü dikdörtgen plâklärın hesabı için elzakt ve buntara ilâve değerleri, Czerny [4] verdi ki bunlar; [5] in özetiinde toplanmıştır. Bu değerler Kirchhoff'schen teorisi çerçevesinde elde edilmiştir. Fakat bütün bu tablo değerleri ya serbestçe dönebilen veya tam ankastre istinadı, yanlı; sadece nadir rastlanan şartları var farzedeler.

Eşit veya açıklıkları arasındaki fark az olan mütemâdi plak sistemler için Löser ünlü satranç tablosu metodunu geliştirmiştir. Buna göre yükler; üniform ve yukarıdan ve aşağıdan tesir eden yük iştirakları nöbetlese değişir şekilde dağıtilır. Bu hesap tarzı, meselâ; endüstri yapıları gibi düzgün taşıyıcı sistemlerde kâfi doğruluğu taizdir. Fakat bina inşaatı ve çok farklı açıklık ve kenar oranlı diğer sistemlerde kullanılabilir değildir.

Böyle sistemler Beton Kalenderdeki bilgilere göre ve genellikle yüklerin iki istikamette taksiyi vasıtasiyla, (Kenar şartları idealize edilmiş tek açıklıklı plâklar için tablolar) sanki tek istikamette taşıyıcı imiş gibi her iki istikamette ayrı ayrı hesaplanırlar. Döndürme tesiri de açıklık momentlerinin tashihî (azaltılarak) suretiyle nazari dikkate alınır [6]. Bu hesaba miktarı önemli olmayan üç hata girer:

1. Özdeş, sadece tek istikamette taşıyıcı sistemin rıjîtliği plâklärin kenar uzunlukları orâmanı bağlıdır. Hahn haçvari donatılan plâklärin plâk rıjîtliklerini [7] de belirtir.

2. Bir kenarın mesnet momentlerinin tashihî, sadece bir değil; heriki istikametteki momentleri etkiler. Bu tesir bilhassa yük dağılımına önemli miktaradır. Bu yüzden, hiçbir zaman bunlar; tam ankastre esasına göreki değerlerle uymaz.

3. Döndürme tesirinden dolayı, açıklık momentlerinin tashih sayısı da; aynı şekilde ankastrelık dereesine bağlıdır.

Yani özetlenen hesap az veya çok, ama yanlışdır. Sadece bir plâk sisteme, gerçek tesirlerle bir adım daha yaklaşmayı sağlar. Daha prezisyonlu bir yaklaşım; plâk mesnetlerinin gerçek ankastreligi, yükü doğru dağıtmaya ve moment azaltma sayılarını yeniden hesaplayabilecek şekilde yapılabildi. Bu sayede daha da geliştirilmiş hesaplar; genellikle teorik değeri hâiz ve kabulleri, (Meselâ Zerny'deki [4] enine uzama katsayısi $\nu = 0$ gibi) hataları önceden bilinerek ele alınmış olmalı ve bir adım daha geliştirilecek hesaba yön ve fikir vermelidir.

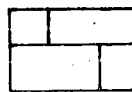
Serdelen bu düşünceler işığında mufassal hesap; ancak, dört kenarın Şekil 1 deki gibi bir düğüm noktası teşkil etmesiyle mümkün değildir. Fakat bina inşaatında, Şekil 2 deki gibi üç kenarın teşkil ettiği düğümme, daha çok rastlanır. Bu sistemler yukarıdaki yaklaşık metodla çözülemez. Bu plâklar iç duvarları büyük duvar yükleriyle yüklü olup era plâklar ise, düğüm kısmındaki plâklar tam ankastre kabul edilebilirler. Fakat bir yapının en üst katında bu kabul yapılamaz.

Yani gelişigüzel sistemdeki mütemadî döşemelerin tesirleri, teorik olarak; ya tam olarak hesaplanamaz veya hesap ranta olmaz. Eichstaedt de aynı düşüncelerle ankastrelilik derecesi metodunu ortaya atmıştır. Bu metodla bina betonarme döşemelerinin hesabı basitleştirilebiliyor. Bu makale yazarlarının gayesi de daha ileri bir basitleştirmeyle hesabın ikmalıdır.

Bunun için plâkların açılık oranlarına, mesnet durumlarına ve $p = q/3$ e kadarıki çeşitli yükleme durumlarına göre açılık ve mesnet momentlerinin gerçek değerlerinin ne olabileceği çok sayıda plâk sistemlerde dörtlü düğüm ve yukarıdaki düşüncelerle araştırılacaktır. Şekil 3; bu incelemeye, ankastrelîğe göre moment sınır şartlarının değişmesini gösteren bir misaldır. Meselâ; tam ankastrelilik halinde m_{fx} için görülüyor ki en gayrimüsait durumda $I_{x1}/I_{x2} = 2/0,8$ max. değer takiben % 100 mütekabili % 104 tür. Bu değer yarı ankastrelilik için % 105 dir. Yani misaldeki durumda m_{fx} iki açılığın oranlarından çok az etkilenir. Bu değerlerin icmaliyle, tek istikamette ve haçvari donanımlı döşemeler için bir kaide çıkarılabilir ki, sonuçlar çabuk ve basit elde edilir ve gerçege kâfi derecede yakındırlar. Esasen bina inşaatında tam bir hesap tarzı için kayıplar ekonomik değildir. Metodun üçlü düğüm teşkil eden döşemelere tatbiki de biraz büyük değerler vermesine rağmen mümkünündür.



Şekil 1 - Plânda dörtlü düğüm teşkil eden döşeme.
Şekil 2 - Plânda üçlü düğüm teşkil eden döşeme.



2. MOMENTLERİN HESABI

2.1. Açıklık momentleri

2.1.1. Yarı ankastrelilik halindeki momentler kesit tâyinine esas alınacaktır. Yani burada bu, iç mesnetlerde tam ankastrelilik ve kenarlarda serbest istinattır. Bu yardımcı değerler Tablo II÷VI dadır. Momentler;

$$m_{fx} = q \cdot \frac{f_x}{I_x^2}$$

$$m_{fy} = q \cdot \frac{f_y}{I_y^2}$$

Serbest mesnet halinde açılık momentleri Tablo I vasıtasiyla elde olunurlar.

2.1.2. İki küçük açılığı büyük bir açılığın takip etmesi halinde kaidenin istisnasını belirtmek gereklidir. Bu takdirde ilk açılığın açılık momenti

$$m_{fx1} = q \cdot \frac{f_{x1}}{I_{x1}^2}$$

Tablo VII ÷ X vasıtasiyla elde edilir. Bu tablo lar $I_{x1}/I_{x2} = \infty; 1; 0,75; 0,50$ değerleri için mutabidir ve $\alpha = 10 \cdot I_{x1}/I_{x2}$ ve $b = I_{x2}/I_{x1}$ koordinatlarıyla indirekt olarak f_{x1} in okunması kabildir. Ara değerler için bir tabloda veya iki tablo arasında interpolasyon yapılır. 3. döşemenin kenar oranlarına uyan (I_{y1}/I_{y2}) tabloyu kullanmak genellikle kâfidir. Bu değer kesirli ise bir sonrakine yuvarlatılır. Şayet kesir ihmâl edilirse biraz fazla donanı kullanılmış olur. $f_{x1} > 10,25$ halinde II ÷ VI tabloları kullanılabilir. Elde edilen m_{fx1} açılık momentinden kolayca $A = \sqrt{2 \cdot q \cdot m_{fx1}}$ mesnet reaksiyonu ve bundan da birinci iç mesnet momenti

$$q \cdot I_{x1}^2$$

$$m_b = A \cdot I_{x1} - \frac{q \cdot I_{x1}^2}{2}$$

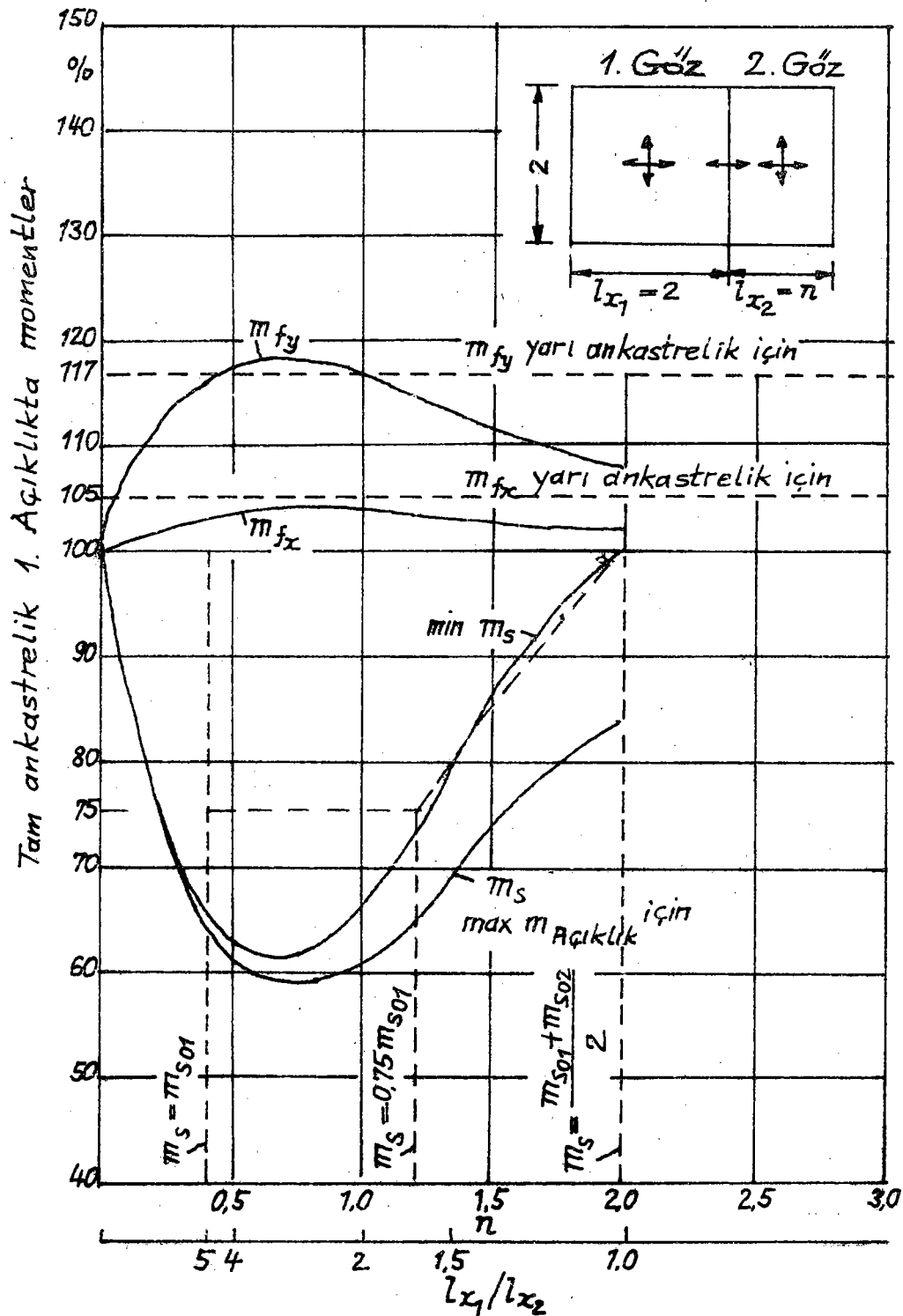
elde olunur.

$f_{x1} < 10,25$ ise 2. açılığın kesit tâyini için (her iki taraftan ankastrelilik mevcutsa) tablo III e

göre $m_{fx2} = \frac{q \cdot I_{x2}^2}{2}$ veya pozitif mesnet momenti

m_b nazari itibara alınır. 2.1.3. Balkon şeklindeki çıkışmalar; şayet zâti ağırlıktan dolayı ankastrelilik momenti plâgin tam ankastrelilik momentinden büyükse, bu kenar ankastre olarak nazari itibara alınabilir.

2.1.4. Mesnet momentleri; Kesit tâyininine esas olacak momentler; müteakip döşemelerin açılık oranları 5 : 1 den küçükse, komşu iki döşemenin m_{so} ankastrelilik momentlerinin aritmetik ortalamasıdır. Eğer bu değer; 0,75 min m_{so} dan küçükse, kesit tâyi 0,75 min m_{so} ya göre yapılır.



Şekil 3 — Komşu gөein açıkhgına bağlı olarak kare seklindeki bir gөenin (1. gөe) moment sınır deгerlerinin deгisiimi.

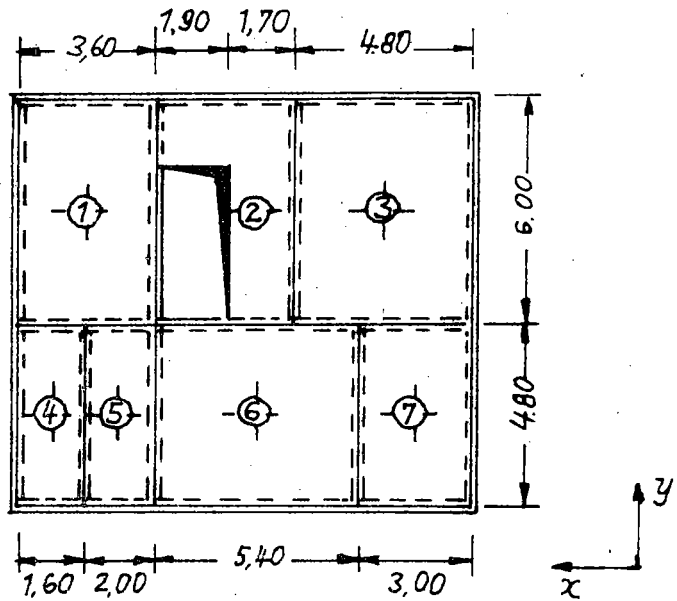
$$\min \cdot h = \frac{0,8 \cdot 4,80}{35} = 11 \text{ cm.}$$

Seçilen ol = 13 cm.

$$g = 400 \text{ kg/m}^2$$

$$p = 150 \text{ kg/m}^2 < \frac{5,50}{3}$$

$$q = 550 \text{ kg/m}^2$$



Sekil 4 — Bina inşaatına dair hesap misali.

TABLO - 1 AÇIKLIK MOMENTLERİ

| Dösemec Nr. | Mes. net Şekli | l_x l'_y | l_y l'_x | $\epsilon = l_y/l_x$ $\epsilon' = l'_y/l'_x$ | f_x | f_y | s_x | s_y | m_{fx} | m_{fy} | m_{sco} | m_{sy0} |
|----------------|----------------------|-----------------|-----------------|---|-------|-------|-------|-------|----------|----------|-----------|-----------|
| 1 | 2 | 3,60 | 6,00 | 1,67 | 13,1 | 35,7 | — | 8,7 | 545 | 200 | — | 820 |
| 2 | Sekim lik | 1,70 | — | — | — | — | 2,0 | — | — | — | — | 800 |
| 3 | 4 | 4,80 | 6,00 | 1,25 | 22,0 | 36,6 | 11,1 | 13,0 | 575 | 346 | -1140 | -975 |
| 4 | 4 | 1,60 | 4,80 | 3,00 | 7,9 | * | 8,0 | 11,2 | 179 | * | -175 | -125 |
| 5 | 5' | 2,00 | 4,80 | 2,40 | 12,0 | * | 12,0 | 17,5 | 184 | * | -184 | -126 |
| 6 | 5' | 5,40 | 4,80 | 1,13 | 34,4 | 28,8 | 14,5 | 14,8 | 368 | 438 | -870 | -852 |
| 7 | 4 | 3,00 | 4,80 | 1,60 | 15,8 | 43,5 | 9,2 | 12,3 | 314 | 114 | -540 | -404 |

KISIM 2.1.2 YE İSTİNADEN

Rijit yapı kısımlarında şüphesiz konsol ve ankastrilik momentleri, zikredilen duruma gitmezler.

Açıklıkların oranlarının $5 : 1$ den büyük olması halinde, büyük açılığın mesnet momenti olarak alınır.

$$I_1 : I_2 > 5 : 1 \text{ M}_s = \frac{m_{so1} + m_{so2}}{2} \geq 0,75 \text{ min } m_{so}$$

$$I_1 : I_2 > 5 : 1 \text{ m}_s = \text{min } m_{so}$$

I \div VI tabloları 1 \div ∞ arasındaki kenar oranlarını içine alırlar. (Ara değerler interpolasyonla)

Tabloların kullanımı yüklerin $p \leq q/3$ oraniyla sınırlıdır.

3. MOMENTLERİN HESABINA DAIR MISAL

Bu kaide ve tabloların pratikte kullanılışı; bina inşaatında az raslanır, plânda düzgün olmayan bir misalle gösterilecektir.

Şekil 4 deki misalde; x, y eksenleri, taşıyıcı duvarlar, dösemelerin taşıyıcı istikametleri ve No.ları belirtilmiştir. Prensip olarak iki plâgin kesiştiği bütün kenarların mütemâdilik tesiri gösterdiği kabul edilmiştir. Taşıyıcı duvarlar olarak burada $1/2$ tuga duvarların kifâyet ettiği düşünülmüştür. Fazla bilgi için DIN 1053 2.1.2. ye bakınız.

Tablo 1 e sırayla döşeme No.ları, mesnet şekli (Tablo II \div VI ya göre) ve dösemelerin her iki istikametteki açılıkları yazılır. Beher döşeme için $\varepsilon = I_y/I_x$ mi, yoksa $\varepsilon' = I_x/I_y$ mi teşkil edileceği ankastre kenarların koordinat eksenindeki durumuna bağlıdır ve mesnet şekli (meselâ 5 veya 5') belirtilir. ε değerlerinin altını çizerek bir defa daha bu farkı belirtmek faydalıdır. ε ve ε' değerlerine bağlı olarak Tablo II \div VI dan heriki istikametteki f ve s değerleri alınır.

Bulunan değerlerle açılık momentleri m_f yarı ankastrilik için ve mesnet momentleri m_{so} tam ankastrilik için hesaplanırlar.

m_{fx4} momentinin hesabı için 2.1.2 esastır.

6 No. lu döşemedede kenarların oranı $I_y/I_x = 4,80/5,40 \approx 1,0$ dır. f_{x4} bu sebepten VIII. tablodan alınır ve $\alpha = 10 \cdot 1,60/5,4 \approx 3$ ve $b = 10 \cdot 2,00/5,40 = 3,7$ ile $f_x = 7,9$ elde edilir. y istikametindeki kenar gerilmeleri burada ihmal ediliyor.

5 No. lu döşemedede açılık momenti 2.1.2 ye $q \cdot l_{xs}$

göre $m_{fx5} = \frac{q \cdot l_{xs}}{12}$ ile hesaplanır.

12

Mesnet momentleri tablo 2 de hesaplanmıştır. Burada bütün mesnetler istikametleri nazarı itibaren alınmaksızın komşu dösemelerin No.larıyla tâsvif edilir. Bunu, tam ankastrilik momentleri ve bunlardan elde edilen ortalama değerler ve 0,75 min m_{so} değerlerinin bulunması takip eder. Son sütuna da

seçilen ve hesaba girecek en büyük değerler (tam ankastreliğe göreki düşüncelerle ve kesit tâyinine lüzumlu olan ve x istikametindeki orta duvar kısmında, diğer istikametteki duvarlardan dolayı meydana gelen ankastrilik momentleri ihmâl edilerek) yazılır. 6 No. lu döşemedede ise gerilme kenarın takriben $2/3$ üne dağıtılcadından, biraz fazla seçilmelidir.

Serbest kenarlı sahanlık döşemesi için

$$m_{so2} = 400 \cdot \frac{1,70^2}{2} = 582 \text{ Kgm} > \frac{m_{so3}}{2} = 570 \text{ Kgm}$$

ve bu değer 3 No. lu döşemenin tam ankastreliği için ikâfidir. 2 ve 3 No. lu dösemelerin arasındaki mesnet momenti olarak 2 nin konsol momentini almak yeterlidir. 2 No. lu döşemenin üç kenarından mesnetli kısmı, serbest kısmı aynı zamanda merdiven mesnedi olarak ilâve demirlerle olmak üzere konstruktif olarak donatılır.

4. MESNET REAKSİYONLARI

Mesnet reaksiyonları; genel olarak, köşelerin açı ortaylarının kesişme noktalarından hasil olan döşeme alanlarına göre hesaplanır. Şayet tam bir hesap gerekliyse, bu; alan ayırma çizgileri, kenarların istinat durumuna göre Şekil 5 deki gibi kaydırılır. [9]

5. KONSTRÜKTİF ESASLAR

5.1. Mesnet teçhizatının uzunluğu

Bir mesnedin heriki tarafından ayrı ayrı elde edilen m_{so1} ve m_{so2} mesnet momentleri arasındaki fark, % 20 oranını aşmıyorsa; mesnet teçhizatı 0,25 . max I (I büyük açılık) kadar her iki tarafa uzatılır. Son açılıkta $0,75 m_{so} > 2 m_f$ ve ara açılıklarda $\Delta m_{so} > 2,5 m_f$ ise, en azından mesnet teçhizatının yarısı üst teçhizat olarak açılığa doğru uzatılır.

Bu iki hâlin arasında kalan değerler için ise, mesnet teçhizatının boyu uygun şekilde seçilir.

5.2. Açılık teçhizatının kısaltılması

Şayet açılık teçhizatı 2.1.2. Tablo VII \div X a göre hesaplanırsa, açılık donatısı mesnede kadar uzatılır. Mesnetteki bîndirme boyu DIN 1045, 14, 1c ye göre alınır.

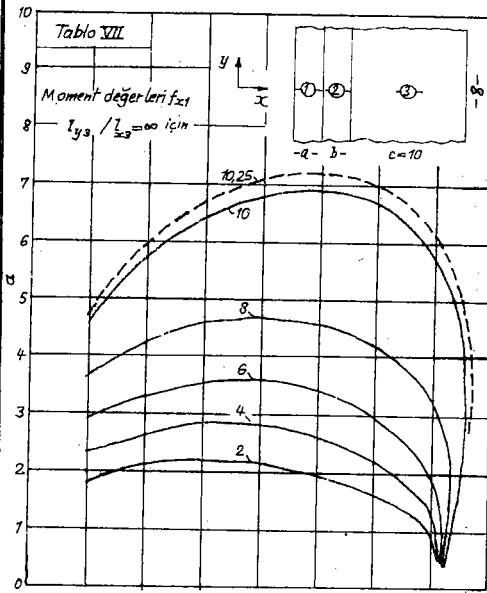
Açılık teçhizatı; taşıyıcı istikamette, kaynaklı hasır prefabrike teçhizat veya pilyeli normal betonarme demirinde, serbest kenarlarda, 0,125 I veya ankastre kenarlarda 0,25 I bölgesinde % 50 azaltılabilir. (Şekil 6)

5.3. Kenar şartlarından açılık teçhizatının azaltılması

Açılık teçhizatı; kenar şartlarında, taşıyıcı istikamete paralel olarak (kenardan itibaren 0,25 I şeridine) % 50 azaltılabilir. (Şekil 7)

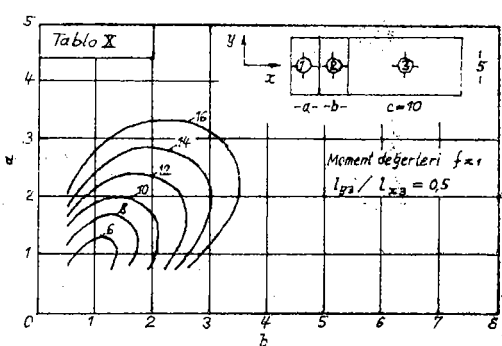
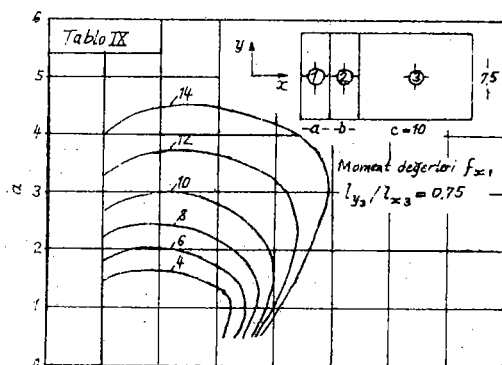
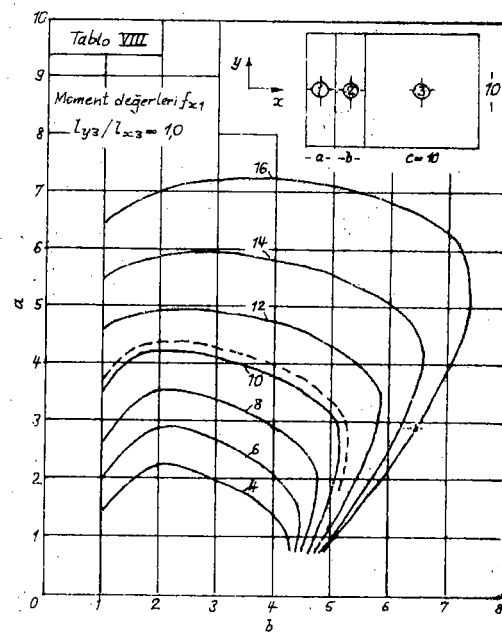
| Tablo I | | | | Tablo II | | | | Tablo III | | | |
|----------------------|-------|-------|-------|----------------------|-------|-------|-------|----------------------|-------|-------|-------|
| I_y/I_x | f_x | f_y | s_x | I_y/I_x | f_x | f_y | s_y | I_y/I_x | f_x | f_y | s_y |
| 1,0 | 27,2 | 27,2 | | 1,0 | 32,8 | 29,1 | 11,9 | 1,0 | 38,0 | 30,6 | 14,3 |
| 1,1 | 22,4 | 27,9 | | 1,1 | 26,3 | 23,2 | 10,9 | 1,1 | 30,2 | 30,2 | 12,7 |
| 1,2 | 19,1 | 29,1 | | 1,2 | 22,0 | 23,8 | 10,1 | 1,2 | 24,8 | 30,3 | 11,9 |
| 1,3 | 16,8 | 30,9 | | 1,3 | 18,9 | 30,6 | 9,6 | 1,3 | 21,1 | 31,0 | 10,7 |
| 1,4 | 15,0 | 32,8 | | 1,4 | 16,7 | 31,8 | 9,2 | 1,4 | 18,4 | 32,2 | 10,0 |
| 1,5 | 13,7 | 34,7 | | 1,5 | 15,0 | 33,5 | 8,9 | 1,5 | 16,4 | 33,8 | 9,5 |
| 1,6 | 12,7 | 36,1 | | 1,6 | 13,7 | 34,6 | 8,7 | 1,6 | 14,8 | 35,9 | 9,2 |
| 1,7 | 11,9 | 37,3 | | 1,7 | 12,8 | 36,1 | 8,5 | 1,7 | 13,6 | 38,3 | 8,9 |
| 1,8 | 11,3 | 38,5 | | 1,8 | 12,0 | 37,3 | 8,4 | 1,8 | 12,7 | 41,1 | 8,1 |
| 1,9 | 10,8 | 39,4 | | 1,9 | 11,4 | 38,4 | 8,3 | 1,9 | 12,0 | 44,9 | 8,5 |
| 2,0 | 10,4 | 40,3 | | 2,0 | 10,9 | 39,5 | 8,2 | 2,0 | 11,4 | 46,3 | 8,4 |
| $\rightarrow \infty$ | 8,0 | * | | $\rightarrow \infty$ | 8,0 | * | 8,0 | $\rightarrow \infty$ | 8,0 | * | 8,0 |
| | | | | I_y/I_x | f_x | f_y | s_y | I_y/I_x | f_x | f_y | s_y |
| | | | | 1,0 | 29,1 | 32,8 | 11,9 | 1,0 | 30,6 | 38,0 | 14,3 |
| | | | | 1,1 | 24,6 | 34,5 | 10,9 | 1,1 | 26,3 | 39,5 | 13,5 |
| | | | | 1,2 | 21,5 | 36,8 | 10,2 | 1,2 | 23,2 | 41,4 | 13,0 |
| | | | | 1,3 | 19,2 | 38,8 | 9,7 | 1,3 | 20,8 | 43,5 | 12,6 |
| | | | | 1,4 | 17,5 | 40,9 | 9,3 | 1,4 | 19,2 | 45,6 | 12,3 |
| | | | | 1,5 | 16,2 | 42,7 | 9,0 | 1,5 | 17,9 | 47,6 | 12,2 |
| | | | | 1,6 | 15,2 | 44,1 | 8,8 | 1,6 | 16,8 | 49,1 | 12,0 |
| | | | | 1,7 | 14,4 | 45,3 | 8,6 | 1,7 | 16,1 | 50,3 | 12,0 |
| | | | | 1,8 | 13,8 | 46,5 | 8,4 | 1,8 | 15,4 | 51,3 | 12,0 |
| | | | | 1,9 | 13,3 | 47,2 | 8,3 | 1,9 | 14,9 | 52,1 | 12,0 |
| | | | | 2,0 | 12,9 | 47,9 | 8,3 | 2,0 | 14,5 | 52,9 | 12,0 |
| | | | | $\rightarrow \infty$ | 10,2 | * | 8,0 | $\rightarrow \infty$ | 12,0 | * | 12,0 |
| Tablo IV | | | | Tablo V | | | | Tablo VI | | | |
| I_y/I_x | f_x | f_y | s_x | I_y/I_x | f_x | f_y | s_y | I_y/I_x | f_x | f_y | s_y |
| 1,0 | 33,2 | 33,2 | 74,3 | 1,0 | 33,6 | 37,3 | 16,2 | 1,0 | 36,8 | 36,8 | 19,4 |
| 1,1 | 27,3 | 34,1 | 72,7 | 1,1 | 28,2 | 38,7 | 14,8 | 1,1 | 30,2 | 38,1 | 17,1 |
| 1,2 | 23,3 | 35,5 | 71,5 | 1,2 | 24,4 | 40,4 | 13,9 | 1,2 | 25,7 | 40,4 | 15,5 |
| 1,3 | 20,6 | 37,7 | 70,7 | 1,3 | 21,8 | 42,7 | 13,2 | 1,3 | 22,7 | 43,5 | 17,6 |
| 1,4 | 18,5 | 39,9 | 70,0 | 1,4 | 19,8 | 45,1 | 12,7 | 1,4 | 20,4 | 47,1 | 17,5 |
| 1,5 | 16,9 | 41,9 | 68,6 | 1,5 | 18,3 | 47,5 | 12,5 | 1,5 | 18,7 | 50,6 | 17,7 |
| 1,6 | 15,0 | 43,5 | 69,2 | 1,6 | 17,2 | 49,5 | 12,3 | 1,6 | 17,5 | 52,8 | 17,5 |
| 1,7 | 14,9 | 44,9 | 69,0 | 1,7 | 16,3 | 51,4 | 12,2 | 1,7 | 16,5 | 54,5 | 17,5 |
| 1,8 | 14,2 | 46,2 | 68,7 | 1,8 | 15,6 | 53,3 | 12,1 | 1,8 | 15,7 | 56,1 | 17,5 |
| 1,9 | 13,6 | 47,2 | 68,5 | 1,9 | 15,0 | 55,1 | 12,0 | 1,9 | 15,1 | 57,3 | 17,5 |
| 2,0 | 13,1 | 48,3 | 68,4 | 2,0 | 14,6 | 56,9 | 12,0 | 2,0 | 14,7 | 58,3 | 17,5 |
| $\rightarrow \infty$ | 10,2 | * | 68,2 | $\rightarrow \infty$ | 12,0 | * | 12,0 | $\rightarrow \infty$ | 12,0 | * | 12,0 |

Not: 2' ve 3' istinat şekillerinde mesnet momentleri s_x dir.



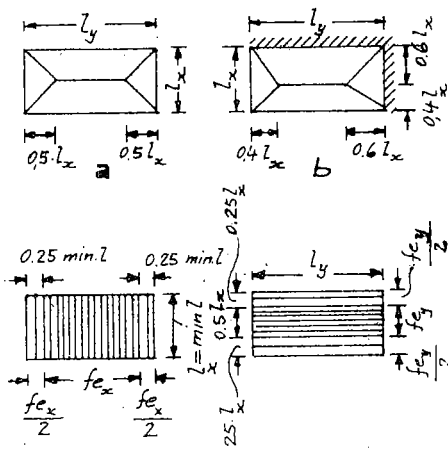
| Araçsabit i_k | $m_{so} = m_{ik}$ | $m_{so} = m_{ek}$ | $\frac{m_{ik} + m_{ek}}{2}$ | $0,75 \text{ min } m_{so}$ | $\text{min } m_s$ |
|--------------------|-------------------|-------------------|-----------------------------|----------------------------|-------------------|
| 4-5 | -175 | -184 | -180 | -138 | -180 |
| 5-6 | -184 | -870 | -527 | -652 | -652 |
| 6-7 | -870 | -540 | -705 | -652 | -705 |
| 1-4 | -820 | -125 | Tam ankastrelilik | -820 | |
| 1-5 | -820 | -126 | Tam örkastrelilik | -820 | |
| 3-7 | -975 | -404 | Tam ankastrelilik | -975 | |
| 3-6 | -975 | -852 | Tam örkastrelilik | -975 | |
| 2-3 | -800 | -1140 | Konsol momenti | -800 | |

Tablo 2. Mesnet momentleri.



Sekil 5. Mesnet reaksiyonlarının hesabi için alanlarını taksimi.

- Ankastrelilik nizari itibare alınmaksızın.
- Ankastrelilik nizari itibare alınarak.

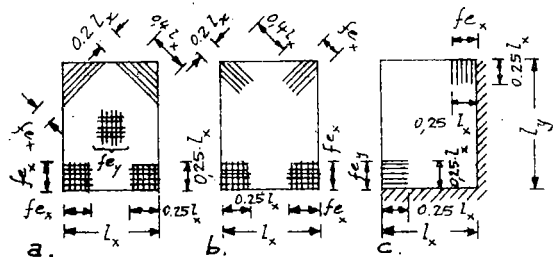


Sekil 7. Ağırlık teçhizatının kenarlarında azaltılması.

Sekil 8. Mesnet teçhizatının kenarlarında azaltılması.



Sekil 6. Ağırlık teçhizatının kısaltılması.



Sekil 9. Döndürme teçhizat (DIN 1045 e göre, Mayıs 1965)

- Alt teçhizat.
- Üst teçhizat.
- Ankastre kenarların teçhizatı. (Sadece üstte)

5.4. Mesnet teçhizatının kenar şeritlerde azaltılması

Mesnet teçhizatı; kenar şeritlerde, (0,25 min. I genişliğindeki kısmında) yarı yarıya azaltılabilir. Ayrıca serbest plâk kenarlarına da, râbita teçhizatı konur (Sekil 8)

5.5. Serbest köşelerdeki döndürme teçhizatı

1, 2 ve 4 mesnetleri; (I, II ve IV. Tablolar) kaldırılmaya karşı ve serbest köşelerin emniyeti bakımından döndürme momentini gerektirirler. Sekil 9 daki teçhizatının yeterli olduğu döndürme momentlerinin tankikinden görülebilir. Plâgin yuvarlak betonarme demiriyle teçhizi Sekil 9'un notunda belirtilmiştir. Hazır hasır döşeme teçhizatı kullanılması halinde ise; bunların taşıma tesiri bu durumda uygun olmamasına rağmen, pratik tecrübeyle dayanarak hazır hasır teçhizat (MATTE) döşenir.

Serbest köşelerde sık sık döşemenin alt kısmında bir yırtılma müşahade edilir. Bu, köşeye çapraz ve betonu geriye doğru belirli şekilde bûzecek tarzadır. Bu yırtılmadan sakınmak için; üst teçhizata paralel, kâfi miktarda ve yuvarlak betonarme demirinden teçhizat tavsiye edilir.

Serbest köşelerin emniyet bakımından bağlantısı, az bir kuvvet etkisiyle sağlanır. Bu kuvvetin büyüğlüğü Tablo (4) ve (5) den alınır. ($R_e = 2 \cdot m_{xy}$)

$$\text{Genel olarak } R_e = \frac{q \cdot \min^2}{8} \text{ koymak kâfidir. (En}$$

uygun durum bütün kenarları serbest ve max 1/min I

$$= 2 \text{ halinde } R_e = q \cdot \frac{\min^2}{7,55} \text{ dir.}$$

Sayet pratik olarak serbest köşelerde köşe râbitası ve döndürme momentlerinden sarfınazlar edilmek istenirse, Tablo I, II ve IV artıck ağırlık momentleri için geçerli değildir. Bunun yerine m_{fx} ve m_{fy} , basit usulle ve eğilme momentinin yardımıyla döndürme momentsiz elde edilir. [3; s. 237] [5; 1961, I. s. 200] [6]. Fakat böyle bir teçhizatta köşe üzerinde ve plâgin üst kısmında çapraz yırtılmalar kaçınılmaz olurlar. Bu yırtılmalar, mukavemete tesir eder ve bu suretle başka zararlara yol açarlar.

Bu şekilde misalîn 3. gözü ele alınır ve [5] kullanılırsa,

$$\varepsilon' = 6,0/4,8 = 1,25. \text{ Ortalama olarak 1 ve 4 mesnetlerinden } \frac{ql_x^2}{1} \text{ yerine } 21,9$$

$$m_x = q \cdot I_x^2 \cdot \frac{1}{2 \cdot 13,9 \cdot 22,5} = q \cdot I_x^2 \cdot \frac{1}{17,2};$$

$q \cdot I_x^2 \cdot \frac{1}{36,6}$ yerine

$$m_y = q \cdot I_y^2 \cdot \frac{33,9 + 54,8}{2 \cdot 33,9 \cdot 54,8} = q \cdot I_y^2 \cdot \frac{1}{41,8} = q \cdot I_y^2 \cdot \frac{1}{26,8}$$

Son olarak bir kere deha bilhassa belirtelim ki, izah edilen hesap tarzı tam değerler veremiyor, sadece basit yolla teçhizatlandırmayı sağlıyor ki işte bu, şimdide kadar daha az yaklaşıkla hesaplanmıştır.

YAZI KAYNAKLARI :

- [1] Marcus, H.: Die vereinfachte Berechnung biegsamer Platten, 2. Auflage. Berlin : Springer 1929.
- [2] Gehler/Palen : Erläuterungen zu den Stahlbetonbestimmungen, 6. Auflage. Berlin : Wilh. Ernst u Sohn 1952.

(3) Löser, B.: Bemessungsverfahren, jetzt 17. Auflage. Berlin : Wilh. Ernst u. Sohn 1962.

[4] Czerny, F.: Tafeln für gleichmäßig voll belastete Rechteckplatten. Bautechnik-Archiv, Heft 11. Berlin : Wilh. Ernst u. Sohn 1955.

[5] Beton-Kalender, Teil I, 1958, 1959, 1961, 1962, 1963, 1965. Berlin : Wilh. Ernst u. Sohn.

[6] Baustahlgewebe-Mitteilungen, Heft 20/21; und Konstruktionsblätter 1.2 — 1.

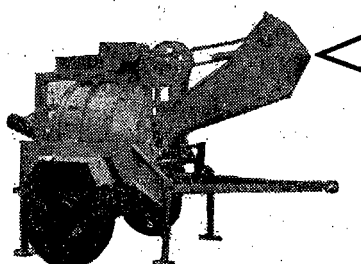
[7] Hahn, J.: Durchlaufträger, Rahmen und Platten, 6. Aufl. Düsseldorf : Werner-Verlag 1962.

[8] Eichstaedt, H. J.: Einspanngradverfahren zur Berechnung der Feldimomente durchlaufender kreuzweise bewehrter Platten im Hochbau. B. u. St. 1963, Heft 1, S. 19 u. f.

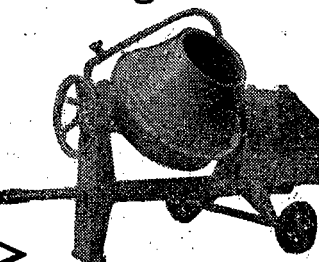
[9] Eichstaedt, H. J. - Die Stützkräfte gleichmäßig belasteter Rechteckplatten in Anlehnung an DIN 1045, § 23.3. B. u. St. 1961, Heft 9, S. 224.

— oOo —

İNŞAAT MAKİNALARINDA MÜHENDİS KALİTESİ



- ★ Hareketli ve sağlam yapı
- ★ Günde 80 M³ Beton
- ★ 350 Litrelilik kazan
- ★ Bir sene garantili



- ★ Fevkâlâde hareketli ve pratik
- ★ Günde 40 M³ Beton
- ★ 250 Litrelilik kazan
- ★ Bir sene garantili

MAMULLERİMİZ: Betonyerler, sesli ve sessiz dam vinçleri, Benzinli Asansörler, Vibratör, Kovalı ve Bantlı Elavatörler.



MUTAFÇILAR® Kol. Şti.

İNŞAAT ve KALDIRMA MAKİNALARI FABRİKASI

Keresteciler sitesi Çaycılar Sok. No.20
Demirkapı - Topçular
Tel.: 23 49 73 İSTANBUL

(Mühendislik - 109)